



زمین - دما فشارسنجدی کانی کوارتز در توده‌های نفوذی با تولیت آلموقلاع (همدان)

منوچهر امیری، احمد احمدی خلجی^{*}، زهرا طهماسبی، رضا زارعی سهامیه، حسن زمانیان

گروه زمین‌شناسی، دانشکده علوم، دانشگاه لرستان

(دریافت مقاله: ۹۵/۵/۲۴، نسخه نهایی: ۹۵/۹/۱۷)

چکیده: با توجه به مقاومت زیاد کوارتز در برابر تنفس و دگرسانی، این کانی جهت دما - فشارسنجدی در توده‌های نفوذی آلموقلاع انتخاب شد و برای تعیین دما و فشار تبلور، مقدار Ti^{+4} موجود در کوارتز توسط ریزپردازشگر الکترونی اندازه‌گیری و میزان فشار و دمای تبلور نقاط بررسی شده، محاسبه گردید. برای تعیین گستره‌ی دمایی رشد و تبلور کوارتز، نمودارهای دما- فشار ترسیم و کنتوربندی گردید. نتایج نشان داد که با کنتوربندی می‌توان اثرات سوء سیالات فعل و تنفس بر دمای تبلور محاسبه شده را کاهش داد. همچنین نتایج حاصل از این مطالعه نشان داد که کانی کوارتز در سنگ‌های متوسط تا قلایی در یک گستره $683^{\circ}C$ تا $757^{\circ}C$ و در سنگ‌های اسیدی در یک گستره $741^{\circ}C$ تا $667^{\circ}C$ متبلور شده است. بررسی سیالات درگیر موجود در رگه‌های سیلیسی توسط میکروسکوپ پلاتین گرمایی نشان داد که رگه‌های سیلیسی موجود در سنگ‌های نفوذی آلموقلاع و سنگ‌های مجاور بالا فصل در دمای بین $134^{\circ}C$ تا $255^{\circ}C$ تشکیل شده‌اند.

واژه‌های کلیدی: دماسنجدی؛ سیالات درگیر؛ فشارسنجدی؛ کوارتز؛ آلموقلاع؛ همدان.

جانشینی دوتایی (Si^{+4} - Si^{+4}) که در این نوع جانشینی یکی از سیلیسیم‌ها توسط عنصر سه ظرفیتی آلمونیوم (Al^{+3}) و سیلیسیم دیگر که نزدیک اولی قرار دارد توسط عنصر پنج ظرفیتی فسفر (P^{+5}) جانشین شده و بار کل خنثی می‌ماند [۱-۳]. جانشینی جبرانی که یک عنصر سه ظرفیتی مانند Al^{+3} جانشین Si^{+4} می‌شود و یک کاتیون جبران کننده مانند Na^+ , Li^+ , H^+ در کانال‌های موازی با محور بلورنگاری (c) و یا جاهای خالی شبکه قرار می‌گیرد که نسبت به عنصری که جانشین سیلیسیم می‌شود دارای تحرک بیشتری است و مقدار آنها ممکن است به فرآیندهای تحرک مجدد حساس باشد [۱۱].

تیتانیم عنصری است که می‌تواند جانشین سیلیسیم شود و بدون دخالت عناصر دیگر تعادل بار برقرار می‌شود. فشار و دمای تبلور، فضای قابل دسترس برای ورود Ti^{+4} را کنترل می‌کند. امروزه تلاش‌هایی به عمل آمده است تا به کمک

مقدمه

کانی کوارتز با اینکه در پوسته زمین فراوان است و در گستره وسیعی از فشار و دما پایدار و در مقابل حضور سیالات فعل و فشارهای زمین‌ساختی مقاوم است اما از نظر زمین‌شیمیایی کمتر مورد توجه و بررسی قرار گرفته است که دلیل آن نبود روش‌های مناسب برای شناسایی و تعیین مقادیر عناصر کمیاب موجود در ساختمان آن بوده است. اخیراً به کمک تشدید پارامغناطیسی و طیف‌سنجدی روش‌های مناسبی برای شناسایی ناقص نقطه‌ای در کوارتز به وجود آمده است [۴-۱]. علاوه براین، دستگاه‌های پرتو لیزری، یونی و الکترونی روش آسانی را برای سنجش کمی عناصر کمیاب در کوارتز به وجود آورده‌اند [۶،۵].

جانشینی عناصر در کوارتز در اصل به سه صورت انجام می-شود: ۱- تک جانشینی که در آن Si^{+4} توسط یک کاتیون چار طرفیتی دیگر همچون Ti^{+4} یا Ge^{+4} جانشین می‌گردد. ۲-

$$T_{(K)} = \frac{1540}{2.26 - \log \frac{Ti_{melt,meas}}{Ti_{qtz,meas}} + 0.124.FM} \quad (5)$$

هر چند در برخی از محیط‌های زمین‌شناسی دمای حاصل از دماسنجه کوارتز-تیتان از سایر دماسنجهای سازگار است [۱۷، ۱۶، ۱۲]. اما چند مورد ناسازگاری ناشی از دخالت فشار زمین‌ساختی گزارش گردیده است [۱۹، ۱۸]. کانی کوارتز از جمله کانی‌های سیلیکاتیه قابل فشردن است [۲۰] و برخی از محققین با انجام آزمایش‌هایی در فشار ۲ کیلوبار [۲۱] و سنتز کوارتز و روتیل از شاره‌های آبکی اشباع از سیلیس در فشار ۵ تا ۲۰ کیلوبار [۲۲] دریافتند که مقدار انحلال Ti^{+4} در کوارتز تابع هر دو پارامتر دما و فشار است و بر این اساس یک زمین-دمافشارسنج برای کانی کوارتز ارائه نمودند

(6)

$$RT_{(K)} \cdot \ln X_{TiO_2}^{qtz} = -60952 + 1.52.T_{(K)} - 1741.P_{(Kbar)} + RT_{(K)} \ln \alpha_{TiO_2}$$

در این معادله R ثابت‌گازها و برابر با 8.3145 J/K است و $X_{TiO_2}^{qtz}$ کسرمولی TiO_2 در کوارتز است. بررسی‌ها نشان داده است که در فشارهای کمتر از ۱۰ کیلوبار، اثر فشار بر میزان انحلال Ti در کوارتز (اثر بر فرمول ۱) ناچیز است [۱۷، ۱۶، ۱۲]. در سیلیس موجود در رگه‌های گرمابی که مقدار Ti بسیار اندک و زیر حد آشکارسازی دستگاه ریزپردازشگر است، به کمک سیالات درگیر اولیه دمای تشکیل رگه‌ها برآورد می‌گردد. با توجه به اینکه در سنگ‌های باتولیت آلموقلاخ آثاری از تنفس (میلونیت) و فعالیت سیالات ماقمایی (حضور اکتینولیت، کلریت، لوکوکسن، پرهنیت...) وجود دارد، لذا به منظور برآورده از دمای ماقمایی در این پژوهش، بررسی‌های زمین-دمافشارسنجی بیشتر روی کانی مقاوم کوارتز انجام شد.

روش بررسی

به منظور اندازه‌گیری مقدار Ti و زمین‌دمافشارسنجی کوارتز، تعداد ۵ مقطع نازک یک‌طرف صیقلی از توده‌های نفوذی اسیدی با اندازه استاندارد 46×27 میلیمتر مربع و با ضخامت ۳ میکرون تهیه و با لایه‌ای از کربن به ضخامت ۲۰ نانومتر پوشش داده شد. سپس برخی از کوارتزهای نوع ماقمایی موجود در آنها توسط دستگاه ریزپردازشگر الکترونی

مقادیر Ti موجود در کوارتز، دما و فشار حاکم بر تبلور کوارتز برآورد شود. پژوهشگران [۱۲] کانی کوارتز را در حضور روتیل و گدازه‌های سیلیکاتی آبدار سنتز نموده و دریافتند که با افزایش دما، مقدار تیتانیم موجود در کوارتز افزایش می‌یابد و رابطه‌ی بین آنها را به صورت یک زمین‌دماسنجه توصیف نموده‌اند.

$$T_{(C)} = \left(-\frac{3765}{\log Ti_{(ppm)qtz}} - 5.69 \right) - 273 \quad (1)$$

این معادله برای هنگامی که کوارتز در تعادل با فاز خالص TiO_2 (روتیل) است معتبر است. محققین [۱۴، ۱۳] با استفاده از معادله مربوط به پارامتر ترکیب گدازه [۱۵] از:

$$FM = \left[\frac{Na + K + 2(Ca + Mg + Fe)}{Al} \right] \times \frac{1}{Si} \quad (2)$$

FM پارامتر ترکیب ماقمایی است و نمادهای شیمیایی کسرهای کاتیونی عناصر در گدازه هستند) معادله‌ای برای تعیین مقدار بیشینه انحلال Ti (حالت اشباع) در گدازه‌های سیلیسی آبدار ارائه نمودند:

$$\log(Ti_{ppm,melt,sat}) = 7.95 - \frac{5305}{T_{(K)}} + 0.124.FM \quad (3)$$

در این معادله پارامتر $Ti_{ppm, melt, sat}$ غلظت تیتانیم مورد نیاز در گدازه جهت تبلور روتیل است که به کمک آن می‌توان حالت اشباع و یا تحت اشباع Ti را در ماقمایی مشخص نمود این پارامتر برای سنجش بیشینه انحلال تیتانیم در ریولیت (سنگ کل)، در دمای مربوطه ارائه گردید [۱۳، ۱۲] و توسط سایر محققین [۱۲] برای گدازه (شیشه) همزیست با کوارتز مورد استفاده قرار گرفت. علاوه بر این، در سیستم‌های طبیعی که روتیل به عنوان یک فاز تعادلی حضور ندارد چنانچه فعالیت TiO_2 تعیین گردد از این دماسنجه (فرمول ۱) می‌توان به صورت رابطه زیر استفاده نمود [۱۲]:

$$T_{(C)} = \left(-\frac{3765}{\log(Ti_{ppm,qtz}/\alpha_{TiO_2}) - 5.69} \right) - 273 \quad (4)$$

در این معادله، α_{TiO_2} فعالیت اکسیدتیتانیم در ماقمایی است. آنها حتی برای موقعی که فعالیت TiO_2 مشخص نیست یک معادله برپایه‌ی مقادیر Ti موجود در کوارتز و مقدار Ti موجود در ماقمایی (سنگ‌ها) ارائه نمودند (فرمول ۵):

$$\alpha_{TiO_2} = \frac{1}{1 + e^{-\frac{3765}{T_{(K)} - 273} + 0.124.FM}} \quad (5)$$

مدت زمان شمارش ۵۵ ثانیه برای عنصر تیتانیم و ۳۵ ثانیه برای سایر عناصر تنظیم و مورد استفاده قرار گرفت. «K پرتو ایکس برای عناصر Al, Si, Na و Mg بهوسیله بلورهای TAP، برای عناصر K, Ca, Ti و PET و بوسطه بلورهای Fe بهواسطه بلور LiF جمع‌آوری شد. برای جلوگیری از اثر تیتانیم موجود در کانی‌های مجاور، نقاط مورد بررسی حدود ۱۵۰ μm دورتر از حاشیه کانی کوارتز و برای جلوگیری از همپوشش نقاط، فاصله بین آنها بیش از ۲۰ μm اختفاب گردید.

نوع Cameca SX-100 در مرکز تحقیقات فرآوری مواد معدنی ایران مورد بررسی قرار گرفت و ترکیب ۴۶ نقطه از آن‌ها تعیین گردید (جدول ۱). دستگاه ریزپردازشگر الکترونی در این بررسی برای عناصر سیلیسیم، تیتانیم، آهن، سدیم، منگنز، منیزیم، پاتاسیم، کلسیم و آلومینیوم به ترتیب با استفاده از کانی‌های ولاستونیت، روتیل، اسپکولاویت، آلبیت، رودنیت، پریکلاز، ارتوز، ولاستونیت و کرونند کالیبره شد. دستگاه با شدت جریان ولتاژ شتابدهنده ۲۰ KV، قطر پرتوی تابشی ۱۰ μm و ۲۰ nA

جدول ۱ نتایج بررسی ۴۶ نقطه از کوارتزهای مربوط به توده نفوذی با تولیت آلموقلاغ به روش EMPA، (علام اختصاری: P.T = شماره مقاطع نازک صیقلی شده، N.Q = شماره بلور کوارتز و N.P = شماره نقطه بررسی شده).

P.T	سنگ‌های متوسط تا قلیایی											
	AM48											
N.Q	۱	۱	۱	۱	۲	۲	۲	۲	۲	۲	۲	۲
N.P	۱	۲	۳	۴	۱	۲	۳	۴	۵	۶	۷	۸
Na ₂ O	۰,۰۲۰	۰,۰۲۱	۰,۰۰۰	۰,۰۲۶	۰,۰۰۰	۰,۰۰۰	۰,۰۰۰	۰,۰۱۴	۰,۰۰۱	۰,۰۰۰	۰,۰۰۰	۰,۰۰۰
K ₂ O	۰,۰۱۲	۰,۰۰۷	۰,۰۰۰	۰,۰۰۴	۰,۰۰۸	۰,۰۱۴	۰,۰۱۰	۰,۰۰۸	۰,۰۰۴	۰,۰۰۶	۰,۰۰۱	۰,۰۰۶
MgO	۰,۰۱۳	۰,۴۲۱	۰,۱۰۱	۰,۱۶۹	۰,۰۱۱	۰,۰۰۰	۰,۰۰۰	۰,۰۱۳	۱,۰۱,۹۹	۰,۰۰۰	۰,۰۰۰	۰,۰۲۶
CaO	۰,۰۲۸	۰,۰۰۷	۰,۰۱۳	۰,۰۱۱	۰,۰۴۰	۰,۰۵۱	۰,۰۴۸	۰,۰۶۹	۰,۰۸۴	۰,۰۲۸	۰,۰۰۷	۰,۰۳۱
MnO	۰,۰۱۹	۰,۰۰۰	۰,۰۰۲	۰,۰۰۰	۰,۰۰۸	۰,۰۰۳	۰,۰۰۲	۰,۰۱۹	۰,۰۰۸	۰,۰۱۸	۰,۰۰۰	۰,۰۱۴
FeO	۰,۰۹۷	۰,۱۳۰	۰,۰۲۴	۰,۱۳۴	۰,۳۴۱	۰,۳۴۱	۰,۲۴۸	۰,۳۲۲	۰,۳۰۹	۰,۲۶۱	۰,۲۰۲	۰,۱۸۳
Al ₂ O ₃	۰,۰۱۰	۰,۰۰۰	۰,۰۰	۰,۰۰۰	۰,۰۱۶	۰,۰۰۰	۰,۰۲۹	۰,۰۱۸	۰,۰۲۷	۰,۰۰۰	۰,۰۰۰	۰,۰۲۰
SiO ₂	۱۰۰,۳۶	۱۰۰,۵۱	۱۰۰,۵۲	۱۰۰,۳۴	۱۰۰,۸۸	۱۰۰,۶۲	۱۰۰,۵۴	۱۰۱,۵۴	۱۰۰,۹۵	۱۰۱,۷۹	۱۰۱,۳۰	۱۰۱,۷۰
TiO ₂	۰,۰۱۱	۰,۰۲۵	۰,۰۳۶	۰,۰۴۳	۰,۰۰۳	۰,۰۱۸	۰,۰۱۳	۰,۰۱۰	۰,۰۱۰	۰,۰۰۲	۰,۰۱۵	۰,۰۰۴
P ₂ O ₅	۰,۰۳۹	۰,۰۴۸	۰,۰۰۰	۰,۰۰۴	۰,۰۵۶	۰,۰۰۰	۰,۰۰۰	۰,۰۰۹	۰,۰۰۰	۰,۰۰۰	۰,۰۰۰	۰,۰۰۲
Total	۱۰۰,۶۱	۱۰۱,۱۷	۱۰۰,۸۹	۱۰۰,۷۳	۱۰۱,۳۶	۱۰۱,۰۷	۱۰۰,۸۹	۱۰۱,۹۹	۱۰۱,۴۹	۱۰۲,۱۱	۱۰۱,۵۳	۱۰۱,۹۹
سنگ‌های اسیدی												
P.T	AM34						AM23					
N.Q	۱	۱	۱	۲	۲	۲	۳	۳	۱	۱	۱	۱
N.P	۱	۲	۳	۱	۲	۳	۱	۲	۱	۲	۳	۴
Na ₂ O	۰,۰۶۵	۰,۰۰۰	۰,۰۵۴	۰,۰۷۶	۰,۰۸۴	۰,۰۴۳	۰,۰۲۵	۰,۰۰۵	۰,۰۰۵	۰,۰۳۲	۰,۰۱۷	۰,۰۱۸
K ₂ O	۰,۰۱۹	۰,۰۲۳	۰,۰۳۴	۰,۰۶۱	۰,۱۰۲	۰,۱۹۹	۰,۰۲۴	۰,۰۰۹	۰,۰۰۹	۰,۰۲۲	۰,۰۶۰	۰,۰۰۳
MgO	۰,۰۱۴	۰,۰۲۴	۰,۰۱۶	۰,۰۱۴	۰,۰۲۸	۰,۰۳۸	۰,۰۱۱	۰,۰۴۲	۰,۰۴۲	۰,۳۲۲	۰,۰۰۰	۰,۰۰۰
CaO	۰,۰۱۰	۰,۰۱۳	۰,۰۱۹	۰,۰۳۵	۰,۰۴۷	۰,۰۱۷	۰,۰۲۰	۰,۰۱۸	۰,۰۱۸	۰,۰۰۴	۰,۰۳۱	۰,۰۲۰
MnO	۰,۰۰۰	۰,۰۱۴	۰,۰۰۳	۰,۰۰۰	۰,۰۰۴	۰,۰۰۰	۰,۰۱۴	۰,۰۰۰	۰,۰۰۰	۰,۰۱۵	۰,۰۰۰	۰,۰۰۰
FeO	۰,۰۳۵	۰,۰۱۷	۰,۰۰۷	۰,۰۱۸	۰,۰۰۳	۰,۰۲۷	۰,۰۸۱	۰,۰۱۸	۰,۰۱۸	۰,۰۰۶	۰,۱۴۰	۰,۰۳۰
Al ₂ O ₃	۰,۰۰۰	۰,۰۰۰	۰,۰۱۲	۰,۰۰۰	۰,۰۰۳	۰,۰۰۰	۰,۰۰۷	۰,۱۳۶	۰,۱۳۶	۰,۰۲۵	۰,۰۳۲	۰,۰۰۳
SiO ₂	۱۰۰,۵۳	۱۰۰,۰۶	۱۰۰,۶۲	۹۹,۴۸	۹۹,۷۳	۹۹,۴۵	۹۸,۹۰	۹۹,۸۷	۹۹,۳۶	۹۹,۷۳	۹۹,۸۵	۹۹,۷۱۶
TiO ₂	۰,۰۲۰	۰,۰۰۱	۰,۰۰۲	۰,۰۱۸	۰,۰۱۱	۰,۰۷۳	۰,۰۱۹	۰,۰۳۹	۰,۰۰۸	۰,۰۰۲	۰,۰۰۹	۰,۰۱۲
P ₂ O ₅	۰,۰۳۰	۰,۰۰۰	۰,۰۰۰	۰,۰۰۰	۰,۰۴۵	۰,۰۰۹	۰,۰۰۷	۰,۰۰۰	۰,۰۰۰	۰,۰۲۳	۰,۰۱۴	۰,۰۲۵
Total	۱۰۰,۷۲	۱۰۰,۱۵	۱۰۰,۷۷	۹۹,۷۰	۱۰۰,۰۹	۹۹,۸۲	۹۹,۱۱	۱۰۰,۰۴	۹۹,۶۱	۱۰۰,۱۷	۱۰۰,۱۷	۹۹,۸۳

ادامه جدول ۱

P.T	سنگ‌های اسیدی									
	AM23					AM7-2				
N.Q	۱	۲	۲	۲	۲	۱	۱	۱	۲	۲
N.P	۵	۱	۲	۳	۴	۱	۲	۳	۱	۲
Na ₂ O	۰,۰۱۵	۰,۰۲۵	۰,۰۲۵	۰,۰۰۰	۰,۰۱۱	۰,۰۱۰	۰,۰۰۵	۰,۰۰۵	۰,۰۰۳	۰,۰۷۱
K ₂ O	۰,۰۱۷	۰,۰۰۷	۰,۰۰۷	۰,۰۴۰	۰,۰۰۸	۰,۰۰۰	۰,۰۰۷	۰,۰۲۴	۰,۰۳۴	۰,۰۱۱
MgO	۰,۰۰۰	۰,۰۰۰	۰,۰۰۰	۰,۰۰۰	۰,۰۱۱	۰,۰۰۰	۰,۰۱۲	۰,۰۰۵	۰,۰۰۰	۰,۰۲۴
CaO	۰,۰۳۷	۰,۰۱۵	۰,۰۱۵	۰,۰۲۴	۰,۰۰۱	۰,۰۳۴	۰,۰۲۲	۰,۰۰۲	۰,۰۰۰	۰,۰۰۰
MnO	۰,۰۰۶	۰,۰۰۰	۰,۰۰۰	۰,۰۰۴	۰,۰۰۵	۰,۰۰۰	۰,۰۰۰	۰,۰۰۲	۰,۰۰۹	۰,۰۰۸
FeO	۰,۲۴۱	۰,۰۰۰	۰,۰۰۰	۰,۱۲۴	۰,۰۳۵	۰,۰۳۰	۰,۱۱۸	۰,۰۰۰	۰,۰۳۸	۰,۰۱۸
Al ₂ O ₃	۰,۰۰۰	۰,۰۰۰	۰,۰۰۰	۰,۵۹۰	۰,۰۱۳	۰,۰۰۷	۰,۰۰۰	۰,۰۰۰	۰,۱۱	۰,۲۸۹
SiO ₂	۱۰,۱۹۲	۱۰,۰۸۶	۱۰,۰۹۷	۹۹,۱۶۳	۱۰,۰۲۰	۹۹,۹۳	۱۰,۰۲۸	۱۰,۰۳۸	۹۹,۹۷	۱۰,۰۴۸
TiO ₂	۰,۰۰۹	۰,۰۱۹	۰,۰۱۴	۰,۰۰۹	۰,۰۰۱	۰,۰۰۸	۰,۰۱۱	۰,۰۱۶	۰,۰۱۳	۰,۰۱۵
P ₂ O ₅	۰,۰۰۹	۰,۰۵۴	۰,۰۶۱	۰,۰۱۶	۰,۰۰۰	۰,۰۰۰	۰,۰۰۲	۰,۰۰۰	۰,۰۷۴	۰,۰۰۰
Total	۱۰,۲۶	۱۰,۰۷	۱۰,۰۲	۹۹,۹۷	۱۰,۰۲۹	۱۰,۰۰۲	۱۰,۰۴۵	۱۰,۰۴۳	۱۰,۰۰۸	۱۰,۰۹۹
سنگ‌های اسیدی										
P.T	AM7-2					AM9				
N.Q	۳	۴	۱	۱	۱	۱	۲	۲	۲	۲
N.P	۲	۱	۱	۲	۳	۴	۱	۲	۳	۴
Na ₂ O	۰,۰۰۰	۰,۰۱۷	۰,۰۰۰	۰,۰۰۰	۰,۰۲۱	۰,۰۲۶	۰,۰۲۲	۰,۰۱۶	۰,۰۰۰	۰,۰۱۳
K ₂ O	۰,۰۰۵	۰,۰۴۵	۰,۰۲۰	۰,۰۰۷	۰,۰۱۶	۰,۰۲۶	۰,۰۱۳	۰,۰۰۰	۰,۰۰۰	۰,۰۲۲
MgO	۰,۰۰۰	۰,۰۱۸	۰,۰۰۰	۰,۰۰۰	۰,۰۰۰	۰,۰۱۳	۰,۰۲۴	۰,۰۰۰	۰,۰۰۵	۰,۰۱۶
CaO	۰,۰۰۰	۰,۰۲۴	۰,۰۱۵	۰,۰۱۱	۰,۰۳۲	۰,۰۳۷	۰,۰۲۲	۰,۰۲۶	۰,۰۳۱	۰,۰۰۹
MnO	۰,۰۰۰	۰,۰۰۹	۰,۰۰۰	۰,۰۰۲	۰,۰۰۱	۰,۰۰۴	۰,۰۱۲	۰,۰۰۹	۰,۰۱۱	۰,۰۰۴
FeO	۰,۰۰۰	۰,۱۱۳	۰,۰۱۳	۰,۰۱۵	۰,۰۵۲	۰,۰۹۹	۰,۰۰۰	۰,۰۴۶	۰,۷۱	۰,۱۰۴
Al ₂ O ₃	۰,۰۳۱	۰,۰۸۲	۰,۰۲۰	۰,۰۲۴	۰,۰۰۰	۰,۰۰۹	۰,۰۰۳	۰,۰۰۴	۰,۰۳۰	۰,۰۰۰
SiO ₂	۱۰,۰۶۲	۱۰,۰۷۵	۱۰,۰۵۲	۱۰,۰۹۹	۱۰,۰۵۸	۹۹,۱۱	۱۰,۰۳۸	۱۰,۰۱۲	۹۹,۸۵	۱۰,۰۳۰
TiO ₂	۰,۱۵	۰,۰۲۷	۰,۰۰۹	۰,۰۱۰	۰,۰۰۱	۰,۰۰۵	۰,۰۰۵	۰,۰۱۳	۰,۰۱۱	۰,۰۰۵
P ₂ O ₅	۰,۰۲۹	۰,۰۰۰	۰,۰۴۷	۰,۰۰۰	۰,۰۱۱	۰,۰۱۸	۰,۰۰۰	۰,۰۵۶	۰,۰۱۶	۰,۰۸۲
Total	۱۰,۰۷۶	۱۰,۱۰۹	۱۰,۰۶۲	۱۰,۱۰۶	۱۰,۰۷۲	۹۹,۳۷	۱۰,۰۴۹	۱۰,۰۲۷	۱۰,۰۱۱	۱۰,۰۴۸
ج										

دانشگاه بولوی سینای همدان با لایه‌ای از کربن به ضخامت ۲۰ نانومتر پوشش داده شدند و به کمک میکروسکوپ روبشی نوع MIRA3 Field Emission قرار گرفتند. سپس لایه کربن برداشته شد و پس از صیقل دادن، بار دیگر توسط روش کندوپاش پوششی از طلاق به ضخامت ۱۰ نانومتر ایجاد و مجدد مورد بررسی قرار گرفتند. همچنین بهمنظور دمای تشکیل رگه‌های سیلیسی توسط شاره‌های درگیر، از هر یک از نمونه‌های QZ₁ و QZ₂ دو مقطع دو طرف صیقلی شده (در مجموع ۴ مقطع) و به ضخامت ۱ میلیمتر تهیه و سیالات درگیر موجود در آنها توسط میکروسکوپ پلاتین گرمائی-سرمائی در دانشگاه لرستان مورد بررسی قرار گرفتند.

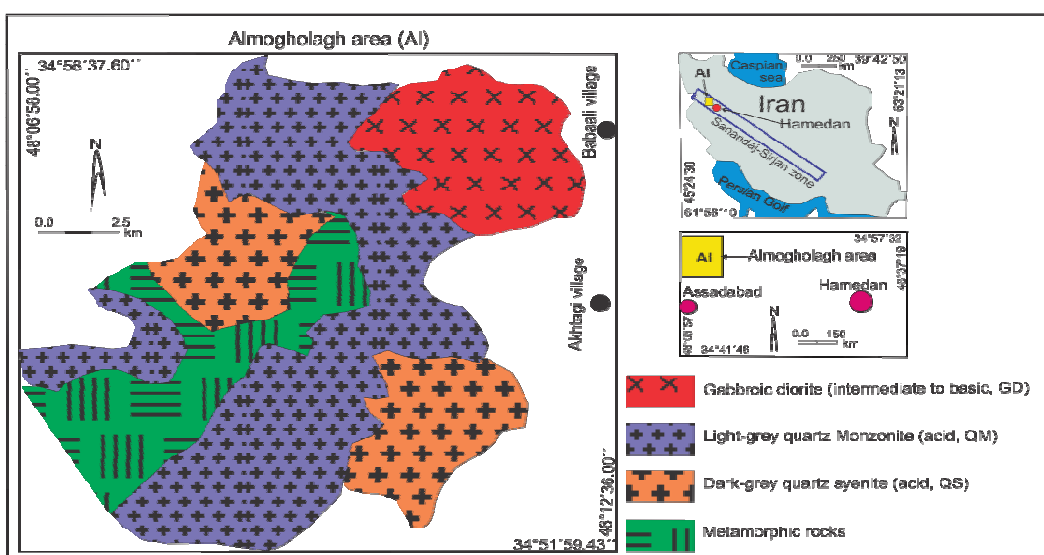
جهت بررسی دقت و صحت نتایج، بررسی در برخی نقاط برای چندین بار تکرار شد که نتایج آنها همسان و یا بسیار نزدیک به هم بود. گفتنی است که با تمهدیاتی که از نظر تصحیح مدل زمینه و سیستم جمع‌آوری چندگانه در برنامه‌ی دستگاه اعمال شده است، حد آشکارسازی این نوع دستگاه در زمان طولانی شمارش برای عنصر تیتانیم در کوارتز به ۲ تا ۳ ppm ارتقاء یافته است [۲۲]. علاوه براین، درسه نقطه از سه رگه‌ی سیلیسی گرمابی موجود در سنگ‌های اسیدی و یا تزریق شده در سنگ‌های مجاور، سه نمونه (QZ₁, QZ₂, QZ₃) و از سنگ‌های نفوذی با تولیت آلموقلاع ۱۱ نمونه گرفته شد به منظور بررسی فازها و تهیه تصاویر الکترونی، ۱۴ قرص صیقلی مربع شکل و با ابعاد ۱×۱×۰,۵ سانتیمتر مکعب از آنها تهیه و در

الیگوکلاز و آندزین هستند. این گروه در نقشه سنگ‌شناسی (شکل ۱) با عنوان گایبرو-دیوریت (GD) مورد اشاره قرار گرفته است. گروه دوم سنگ‌های به نسبت روشن با بافت پورفیری از کانی‌های فلدسپات‌های قلیایی و پلازیوکلاز (۵۰ تا ۵۵ درصد)، کوارتزهای دانه‌ریز (۱۵ تا ۲۵ درصد) آمفیبول (۱۵ تا ۲۰ درصد) و کانی‌های لوکوکسن، ایلمنیت، اسفن و مگنتیت (حدود ۱۰ درصد) تشکیل می‌شود ترمالین‌های نوع شورلیتی اولیه به ندرت در آنها مشاهده می‌شود که حاوی فلئور و بروم هستند. پلازیوکلازها با زاویه خاموشی حدود ۱۲ تا ۲۰ درجه از نوع الیگوکلاز و آندزین هستند. این گروه در نقشه سنگ‌شناسی (شکل ۱) به عنوان کوارتز مونزونیت (QM) مورد اشاره قرار گرفته است. گروه سوم دارای همان کانی‌شناسی گروه دوم است با این تفاوت که دارای فلدسپات قلیایی بیشتر و بخش زیادی از سنگ دانه‌ریز بوده و کانی‌های آمفیبول و کدر در آن پراکنده است در صورتیکه در گروه دوم کانی‌های آمفیبول و کدر بافت لخته‌ای و حالت تجمع شبیه به بافت پرفیروگلومرایی را از خود نشان می‌دهند. از این گروه در نقشه سنگ‌شناسی (شکل ۱) به عنوان کوارتز سینیت (QS) نام برده شده است. در بررسی اکسیدهای اصلی در نمودارهای مختلف سنگ‌شناسی [۲۹-۳۳]، سنگ‌های گروه دوم و سوم جزو سنگ‌های اسیدی و سنگ‌های گروه اول جزو سنگ‌های متوسط تا قلیایی قرار می‌گیرند. رگه‌ها و رگچه‌های سیلیسی (گرمابی) در شکستگی سنگ‌های اسیدی و سنگ‌های بلافصل مجاور تشکیل شده است.

موقعیت زمین‌شناسی و سنگ‌نگاری

در منطقه سندج - سیرجان در طی و یا پس از حرکات صفحه‌عربی و فرورانش اقیانوسی نئوتیس به زیر کرانه جنوبی اوراسیا، یک سری از گرانیتوئیدهای وابسته به فرورانش به وجود آمده که با تولیت آلموقلاغ در این منطقه همگرایی یاد شده قرار گرفته است (شکل ۱). سنگ‌های در برگیرنده این با تولیت شامل متاپلیت‌های تریاس-ژوراسیک به نام فیلیت‌های همدان هستند [۲۴، ۲۵]. از پژوهش به روش Rb-Sr [۲۶] سنگ کل سنی معادل با 144 ± 17 Ma و از پژوهش با روش‌های U-Pb U-Th-Pb در اسفن [۲۷]، سنی معادل با $138-159$ Ma (حد بین ژوراسیک، پایانی و اوایل کرتاسه) برای سنگ‌های نفوذی این با تولیت گزارش شده است.

براساس نتایج منتشر شده [۲۸] که بر پایه‌ی مطالعات صحرایی، مشاهدات میکروسکوپیکی، بررسی‌های شیمیایی در با تولیت آلموقلاغ انجام گرفته است، سه گروه از سنگ‌های آذرین درونی در منطقه مشاهده می‌شود. گروه اول سنگ‌های آذرین درونی به نسبت درشت تا متوسط و بافت دانه‌ای هستند که از کانی‌های فلدسپات قلیایی و پلازیوکلاز (۵۰ تا ۶۰ درصد)، آمفیبول سبزکم رنگ تا سبز زیتونی (۳۰ تا ۳۵ درصد)، اندکی کوارتز دانه‌ریز در زمینه (۳ تا ۱۰ درصد)، ایلمنیت‌های با حاشیه لوکوکسنی و مگنتیت‌های لوزی شکل (حدود ۴ درصد)، کانی‌های فرعی اسفن لوزی شکل (حدود ۲ درصد) و گاهی پیروکسن اورالیته شده تشکیل می‌شوند. در این سنگ‌ها، کانی‌های پلازیوکلاز تمام‌شکل دار و نیمه‌شکل دار و اغلب از نوع

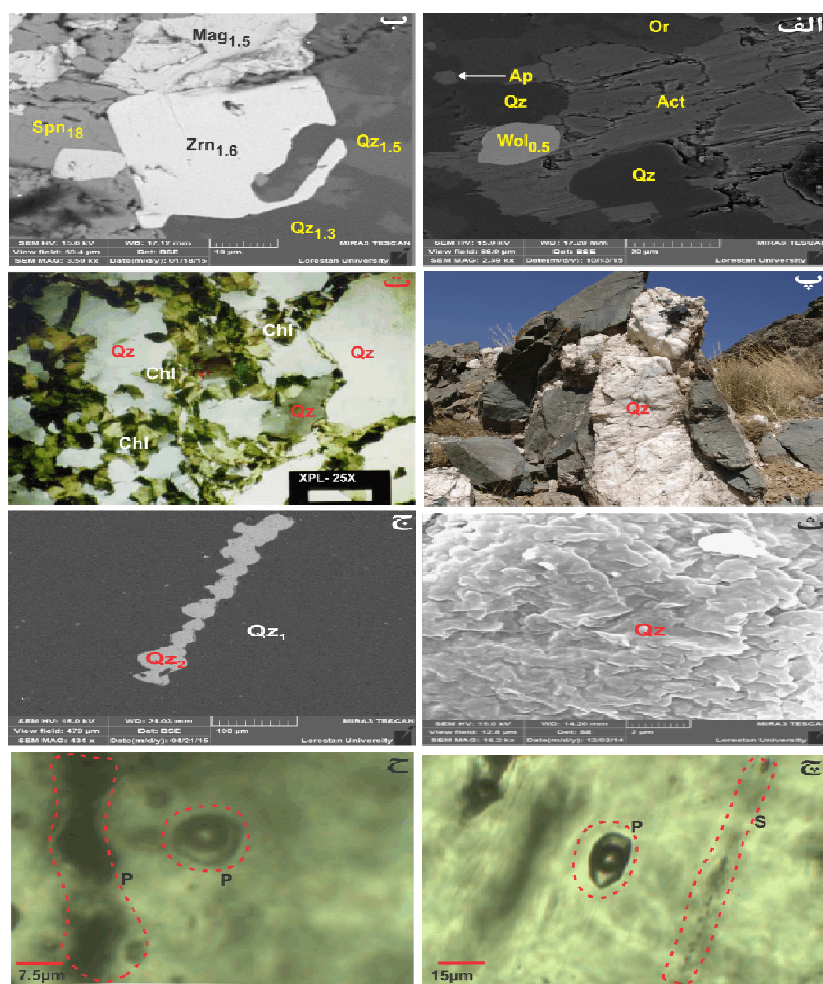


شکل ۱ موقعیت و نقشه سنگ‌شناسی با تولیت آلموقلاغ برپایه بررسی‌های سنگ‌نگاری [۲۸].

halogen (کلر، نئون، برم و ید) در سیالات درگیر و تغییراتی که در کانی‌ها آمفیبول (شکل ۲ الف) و زیرکن (شکل ۲ ب) موجود در سنگ‌های نفوذی به وجود آمده است بیانگر حضور سیالات فعال گرمابی غنی از سیلیس است. به علاوه این سیالات حاوی مقادیر زیادی سیلیسیم بوده و در شکستگی سنگ‌های نفوذی به صورت رگچه و در سنگ‌های دگرگونی پیرامون به صورت رگه تزریق و تهنیشین شده است (شکل ۲ پ). در بررسی با میکروسکوپ نوری، کانی‌های کلریت بادیزبزی همراه کوارتز (شکل ۲ ت) و در مشاهدات میکروسکوپ الکترونی کوارتز با حالت آگرگات‌صفحه‌ای روی هم خوابیده (شکل ۲ ث) و فعالیت دو مرحله‌ای محلول‌های سیلیس‌ساز (شکل ۲ ج) مشاهده

شیمی و کانی‌شناسی کوارتز

در بررسی‌های الکترونی دو نوع کوارتز (ماگمایی و گرمابی) مشاهده می‌شود. نوع گرمابی از دو نسل روشن (فاقد سیالات درگیر) و تیره (با حجم بیش از ۹۹ درصد و حاوی سیالات درگیر) تشکیل شده است. در کوارتزهای نوع اول (ماگمایی)، عناصر Al, Ti, P, V, Cr, K, Na, Mg, Ca, Mn, Fe توسط ریزپردازشگر و عناصر Nb, Zr, Hf, Tb, Cd مثبت بین مقدار این عناصر وجود ندارد. وجود همبستگی مثبت بین مقدار Ti با مقدار عناصر Al و K در کوارتزهای جنوب و غرب نروژ گزارش شده است [۳۴]. وجود عناصر



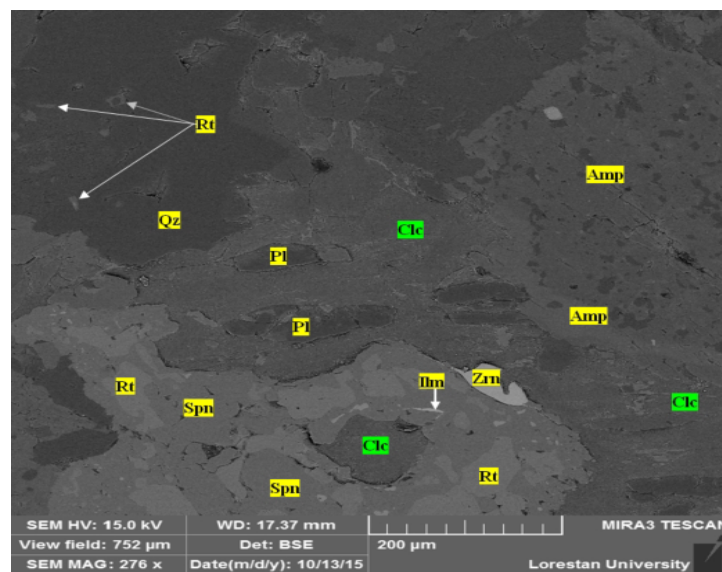
شکل ۲ تصاویر مختلف از کانی‌های کوارتز و سیالات درگیر و سایر کانی‌های همراه سنگ‌ها و رگه‌های سیلیسی با تولیت آلموقلاغ. الف و ب) تصاویر میکروسکوپ الکترونی روبشی از دو نمونه سنگ نفوذی [۲۸]. پ) رگه‌ی سیلیسی تزریق شده در سنگ‌های مجاور. ت) تصویر میکروسکوپیکی از کانی‌های کوارتز و کلریت بادیزبزی (Chl) در رگه‌ی سیلیسی. ث) تصویر الکترونی از آگرگات‌صفحه‌ای - پولکی از سیلیس در رگه‌ی سیلیسی. ج) تصویر الکترونی از دو فاز (نسل) سیلیسی با ترکیب متفاوت (Qz_1 و Qz_2). ج و ح) سیالات درگیر موجود در رگه‌های سیلیسی با خاستگاه اولیه (P) و ثانویه (S). (علام اختصاری: Or = ارتوکلار، Ap = آپاتیت، Act = اکتینولیت، Qz = کوارتز، Wol = ولفرامیت، Mag = ماجنیت، Spn = اسفن (تیتانیت)، Zrn = زیرکن).

بالایی از اکسید تیتانیم مشاهده می‌شود (شکل ۲). البته کوارتزهای موجود در شکل ۲ ب حاصل فعالیت سیالات گرمابی هستند و این نوع کوارتز عموماً حاوی تیتانیم بسیار اندک جانشین شده در ساختار است. بنابرین مقادیر $1/3$ و $1/5$ درصد اکسید تیتانیم موجود در نقاطی که از سیلیس گرمابی تشکیل شده است ناشی از تیتانیم موجود در ذرات میکرونی است که از تلاشی کانی زیرکن و یا اسفن بر اثر حمله سیالات سیلیسی فعال بوجود آمده و در مجاورت و یا روی کانی‌های کوارتز قرار گرفته است. در برخی مقاطع علاوه بر حضور کانی‌های اسفن، ایلمنیت و سایر کانی‌های تیتاندار، کانی روتیل به طور گسترده در سطح مقطع و مجاور کوارتز مشاهده می‌شود و حتی گاهی تیغه‌ها و لکه‌های ریزی از آن در کوارتز تشکیل شده است (شکل ۳). حضور کانی روتیل در سنگ و به ویژه در داخل کانی کوارتز، نشانه‌ای از اشباع بودن محیط از تیتانیم است [۱۲]. با استفاده از درصد مقادیر TiO_2 موجود در جدول ۱، مقادیر Ti_{ppm} برای تمام نقاط بررسی شده، محاسبه گردید (ستون ۵) جدول ۲ و با استفاده از فرمول ۱ (شرط اشباع از TiO_2) مقدار دما در زمان تبلور ($T_{a_{TiO_2=1}}$) محاسبه شد (ستون ۶) جدول ۲. میانگین دمای تبلور کوارتز در نقاط بررسی شده در سنگ‌های متوسط تا قلیایی حدود $711^{\circ}C$ و در سنگ‌های اسیدی $685^{\circ}C$ است.

می‌شود. در بررسی مقاطع دو طرف صیقلی، سیالات محبوس فراوانی با اندازه‌ی متوسط $8/2$ میکرون مشاهده می‌گردد که به صورت کشیده بیضوی، کروی و بی‌شکل هستند. برخی از این سیالات، همزمان با تبلور کوارتز و به صورت پراکنده و یا خطی و برخی نیز به صورت ثانویه و بعد از تبلور سیلیس در راستای شکستگی‌ها تشکیل شده‌اند. درون بیشتر این سیالات یک فاز گازی مشاهده می‌شود که در بیشتر موارد اندازه‌ی بزرگی داشته و برای زمین‌دما‌سنجی و تعیین دمای تبلور رگه‌های کوارتز مناسب هستند (شکل ۲ ج و ح).

دما‌سنجی کانی کوارتز

چنانکه پیشتر بیان شد برای تعیین دمای تشکیل کوارتز در حالتهای اشباع از TiO_2 (فرمول ۱)، تحت اشباع از TiO_2 و با فعالیت مشخص (فرمول ۴) و تحت اشباع با فعالیت نامشخص (فرمول ۵) روابطی تنظیم و ارائه شده است. لذا تعیین نوع شرایط حاکم بر سیستم برای برآورد دمای تبلور کوارتز ضروری است. بر اساس دلایلی که در ادامه بیان می‌شود محیط تشکیل و تبلور کانی کوارتز در سنگ‌های نفوذی آلموقلاغ اشباع از TiO_2 بوده و فعالیت آن بیشینه و برابر با ۱ بوده است ($a_{TiO_2=1}$). در بیشتر مقاطع مورد بررسی، کانی‌های اسفن (تیتانیت)، ایلمنیت و لوکوکسن وجود دارند (شکل‌های ۲ و ۳). همچنین در تعداد زیادی از نقاط بررسی شده درصد به نسبت



شکل ۳ تصویر کانی‌های موجود در مقطع صیقلی AM20 که با استفاده از الکترون‌های برگشتی میکروسکوپ الکترونی روبشی تهیه شده است در گوشه بالا سمت چپ، لکه‌ها و تیغه‌های روتیل در درون کوارتز وجود دارد که نشانه‌ی اشباع بودن محیط از TiO_2 (روتیل) است. روتیل در بخش پائین تصویر بصورت لکه‌های بزرگ محاط در تیتانیت دیده می‌شود. (علائم اختصاری: روتیل=Rt، کوارتز=Qz، پلازیوکلаз=Pl، کلینوکلر زیرکونیم=Clc، تیتانیت (اسفن)=Amp، زیرکن=Zrn، ایلمنیت=Spn).).

جدول ۲ مقادیر دما و تیتانیم محاسبه شده (مربوط به کوارتزها و ماجما) در توده های نفوذی با تولیت آلموقلاخ در مقادیر مختلف فعالیت TiO_2 (علائم اختصاری: F.M. = پارامتر ترکیب ماجما، P.T. = مقاطع نازک صیقلی شده، N.Q. = شماره کوارتز، N.P. = شماره نقطه‌ی بررسی شده و R.T = نوع سنگ)

۱	۲	۳	۴	۵	۶	۷	۸	۹	۱۰	۱۱	۱۲	
R.T	P.T	N.Q	N.P	Ti _{ppm-p} (points)	Ta _{TiO2=I} (°C)	Ta _{TiO2=0.6}	Ti _{ppm-r(rocks)}	F.M.	Ti _{melt-sat1}	Ti _{melt-sat0.6}	T _{meas}	
سنگ‌های متونسته ناقلبانی	AM48	۱	۱	۶۶۰..	۷۹۹,۸	۷۸۸,۹	۱۸۵۷۹	۷,۲۹۱۵	۲۵۱۶	۵۱۶۴	۱۸۸۱,۸	
		۱	۲	۱۵۰..	۷۹۸,۵	۸۷۰,۷	۱۸۵۷۹	۷,۲۹۱۵	۷۹۹۸	۱۶۴۲۷	۱۱۶۴,۶	
		۱	۳	۲۱۶..	۸۴۹,۰	۹۲۸,۵	۱۸۵۷۹	۷,۲۹۱۵	۱۳۳۶۱	۲۷۴۵۹	۹۷۹,۵۰	
		۱	۴	۲۵۸..	۸۷۵,۴	۹۵۸,۸	۱۸۵۷۹	۷,۲۹۱۵	۱۷۱۶۰	۳۵۲۶۱	۹۷۵,۲۰	
		۲	۱	۱۸..۰	۲۷۶,۰	۶۲۰,۷	۱۸۵۷۹	۷,۲۹۱۵	۴۰۳	۸۲۸	۹۹۴۹,۴	
		۲	۲	۱۰۸..	۷۵۶,۷	۸۲۳,۲	۱۸۵۷۹	۷,۲۹۱۵	۵۰۳۵	۱۰۴۶۱	۱۳۹۲۹	
		۲	۳	۷۸..۰	۷۱۸,۳	۷۷۹,۸	۱۸۵۷۹	۷,۲۹۱۵	۳۱۸..	۶۵۳۲	۱۶۹۳۶	
		۲	۴	۶۰..۰	۶۸۹,۵	۷۴۷,۳	۱۸۵۷۹	۷,۲۹۱۵	۲۱۹۹	۴۵۱۴	۲۰۱۲۵	
		۲	۵	۶۰..۰	۶۸۹,۵	۷۴۷,۳	۱۸۵۷۹	۷,۲۹۱۵	۲۱۹۹	۴۵۱۴	۲۰۱۲۵	
		۲	۶	۱۲..۰	۵۴۳,۶	۵۸۴,۸	۱۸۵۷۹	۷,۲۹۱۵	۲۲۸	۴۶۷	-	
		۲	۷	۹۰..۰	۷۲۴,۸	۷۹۸,۵	۱۸۵۷۹	۷,۲۹۱۵	۳۸۹۱	۷۹۹۸	۱۵۳۹,۶	
		۲	۸	۲۴..۰	۶۰۰,۶	۶۴۸,۰	۱۸۵۷۹	۷,۲۹۱۵	۶۰۵	۱۲۴۲	۵۱۵۰,۰	
	MianGin	میانگین				۹۵..۰	۷۱۱,۰	۷۷۲,۲	۱۸۵۷۹	۷,۲۹۱۵	۴۸۹۸	۱۰۰۶۲
سنگ‌های اسپیدی	AM34	۱	۱	۱۱۹..	۷۶۸,۷	۸۳۶,۸	۵۸۳۷	۲۶۵۹۳	۱۵۳۹	۳۱۶۱	۱۴۴۴,۶	
		۱	۲	۶..۰	۴۹۳,۵	۵۲۹,۸	۵۸۳۷	۲۶۵۹۳	۴۷	۹۷	-	
		۱	۳	۱۲..۰	۵۴۳,۶	۵۸۴,۸	۵۸۳۷	۲۶۵۹۳	۶۱	۱۲۵	-	
		۲	۱	۱۰۱..	۵۷۴۸	۸۱۳,۹	۵۸۳۷	۲۶۵۹۳	۱۲۲۰	۲۵۰۷	۱۵۹۲۶	
		۲	۲	۶۶..۰	۶۹۹,۸	۷۵۸,۹	۵۸۳۷	۲۶۵۹۳	۶۷۱	۱۳۷۷	۱۶۵۱,۰	
		۲	۳	۲۲۲..	۸۵۳..	۹۳۳..	۵۸۷۷	۲۶۵۹۳	۱۷۲	۷۶۰	۱۰۴۶,۱	
		۳	۱	۱۱۴..	۷۶۳,۳	۸۳۰,۷	۵۸۷۷	۲۶۵۹۳	۱۴۴۷	۲۹۷۵	۱۴۸,۹	
		۳	۲	۲۳۴..	۸۶۰,۸	۹۴۱,۹	۵۸۷۷	۲۶۵۹۳	۳۹۹	۶۵۱۸	۱۰۲۰,۷	
		۱	۱	۴۸..۰	۶۶۶,۲	۷۲۱,۲	۴۵۵۵	۲۳۷۷۵	۳۹۵	۸۱۱	۲۳۹۲۵	
		۱	۲	۱۲..۰	۵۴۳,۶	۵۸۴,۸	۴۵۵۵	۲۳۷۷۵	۵۶	۱۱۵	-	
		۱	۳	۵۴..۰	۶۷۸,۳	۷۳۴,۸	۴۵۵۵	۲۳۷۷۵	۴۶۶	۹۵۷	۲۱۷۵,۷	
	AM23	میانگین				۷۲۳,۰	۷۳۴,۸	۴۵۵۵	۲۳۷۷۵	۷۹۷	۲۱۷۵,۷	

ادامه جدول ۲

۱	۲	۳	۴	۵	۶	۷	۸	۹	۱۰	۱۱	۱۲
R.T	P.T	N.Q	N.P	Ti _{ppm-p}	Ta _{TiO2=I} (°C)	Ta _{TiO2=0.6}	Ti _{ppm-r}	F.M.	Ti _{melt-sat1}	Ti _{melt-sat0.6}	T _{meas}
سنگ‌های اسپیدی	AM7-2	۱	۴	۷۷..۰	۷۰۹,۲	۷۸۹,۷	۴۵۵۵	۲۳۷۷۵	۸۹۹	۱۴۳۶	۱۷۶۹,۹
		۱	۵	۵۴..۰	۶۷۸,۳	۷۳۴,۸	۴۵۵۵	۲۳۷۷۵	۴۶۶	۹۵۷	۲۱۷۵,۷
		۲	۱	۱۱۴..	۷۶۳,۳	۸۳۰,۷	۴۵۵۵	۲۳۷۷۵	۱۲۳۵	۲۷۴۴	۱۳۴۲,۲
		۲	۲	۱۸۴..	۷۲۶,۸	۷۸۹,۴	۴۵۵۵	۲۳۷۷۵	۱۸۶۸	۱۷۸۵	۱۶۰۳,۲
		۲	۳	۵۱..۰	۶۷۸,۳	۷۳۴,۸	۴۵۵۵	۲۳۷۷۵	۴۶۶	۹۵۷	۲۱۷۵,۷
		۲	۴	۶..۰	۴۹۳,۵	۵۲۹,۸	۴۵۵۵	۲۳۷۷۵	۲۱	۴۳	-
		۱	۱	۴۸..۰	۶۶۶,۲	۷۲۱,۲	۵۸۱۴	۲۰۸۷۷	۴۱۹	۸۱۱	۲۸۲۰,۸
		۱	۲	۶۶..۰	۶۹۹,۸	۷۳۸,۹	۵۸۱۴	۲۰۸۷۷	۶۰۷	۱۳۴۹	۲۱۴۸,۱
		۱	۳	۵۶..۰	۷۴۴,۴	۸۰۷,۱	۵۸۱۴	۲۰۸۷۷	۱۱۱۳	۲۲۸۸	۱۶۰۴,۹
		۲	۱	۷۸..۰	۷۱۸,۳	۷۷۹,۸	۵۸۱۴	۲۰۸۷۷	۸۳۱	۱۷۰۶	۱۹۰۰,۲
		۲	۲	۹۰..۰	۷۳۴,۸	۷۹۸,۵	۵۸۱۴	۲۰۸۷۷	۱۰۱۶	۲۰۸۹	۱۷۲۵,۰
		۳	۱	۳۰..۰	۶۲۰,۷	۶۷۰,۴	۵۸۱۴	۲۰۸۷۷	۲۱۶	۴۴۴	۴۹۷۱,۴
		۳	۲	۹۰..۰	۷۳۴,۸	۷۹۸,۵	۵۸۱۴	۲۰۸۷۷	۱۰۱۶	۲۰۸۹	۱۷۲۵,۰
	AM9	۴	۱	۱۶۲..	۸۰۸,۷	۸۸۲,۴	۵۸۱۴	۲۰۸۷۷	۲۲۲۶	۴۷۸۱	۱۲۲۷,۹
		۱	۱	۵۴..۰	۶۷۸,۳	۷۳۴,۸	۵۰۳۴	۲۰۸۶۳	۴۹۵	۱۰۱۶	۲۲۴۶,۷
		۱	۲	۶۰..۰	۶۸۹,۵	۷۴۷,۳	۵۰۳۴	۲۰۸۶۳	۵۴۷	۱۱۷۹	۲۰۷۰,۱
		۱	۳	۶..۰	۴۹۳,۵	۵۲۹,۸	۵۰۳۴	۲۰۸۶۳	۲۲	۴۶	-
		۱	۴	۳۰..۰	۶۲۰,۷	۶۷۰,۴	۵۰۳۴	۲۰۸۶۳	۲۱۶	۴۴۴	۴۰۵۰,۳
		۲	۱	۳۰..۰	۶۲۰,۷	۶۷۰,۴	۵۰۳۴	۲۰۸۶۳	۲۱۶	۴۴۴	۴۰۵۰,۳
		۲	۲	۷۸..۰	۷۱۸,۳	۷۷۹,۸	۵۰۳۴	۲۰۸۶۳	۸۳۰	۱۳۴۹	۱۹۳۱,۳
		۲	۳	۶۶..۰	۶۹۹,۸	۷۳۸,۹	۵۰۳۴	۲۰۸۶۳	۲۱۶	۴۴۴	۴۰۵۰,۳
		۲	۴	۳۰..۰	۶۲۰,۷	۶۷۰,۴	۵۰۳۴	۲۰۸۶۳	۷۴۲	۱۵۲۵	۲۰۹۱,۲
		۲	۵	۷۷..۰	۷۰۹,۳	۷۶۹,۷	۵۰۳۴	۲۰۸۶۳	۷۴۲	۱۵۲۵	۲۰۹۱,۲
		میانگین				۷۲۳,۰	۶۸۴,۸	۵۰۲۸۸	۲۰۴۸۵	۷۹۴	۱۷۰۳

500°C تشکیل می‌شوند اگر اندازه‌گیری مقدار تیتانیم درست و دقیق باشد دمای حاصل از فرمول ۱ فقط در گستره $2^{\circ}\text{C} \pm 2^{\circ}\text{C}$ با دمای واقعی تفاوت خواهد داشت. با توجه به اینکه مقدار تیتانیم در تمامی نقاط بررسی شده بیش از حد آشکارسازی دستگاه (۳ ppm) و به استثناء ۳ نقطه بیش از ۱۰ ppm است، لذا با توجه به شرایط رعایت شده در حین کار، تصور می‌شود که میانگین دمای تبلور کوارتز در سنگ‌های متوسط تا قلیایی در گستره دمایی $711^{\circ}\text{C} \pm 5^{\circ}\text{C}$ (716°C تا 706°C) و در سنگ‌های اسیدی در گستره دمایی $685^{\circ}\text{C} \pm 5^{\circ}\text{C}$ (680°C تا 690°C) قرار گیرد.

فشارسنگی کانی کوارتز

برای تعیین فشار در زمان تبلور نقاط بررسی شده، ابتدا مقادیر دما بر حسب درجه کلوین و مقادیر کسر مولی اکسید تیتانیم به کمک فرمول زیر [۲۲] محاسبه شدنند:

(۲)

$$X_{\text{TiO}_2}^{q\text{c}} = \frac{\frac{\text{Ti}_{\text{ppm}}}{1E4 \times 0.599 \times 79.87}}{\frac{\text{Ti}_{\text{ppm}}}{1E4 \times 0.599 \times 79.87} + \left[\left(100 - \frac{\text{Ti}_{\text{ppm}}}{1E4 \times 0.599 \times 79.87} \right) \right] \times \frac{1}{60.09}}$$

سپس فشار تشکیل نقاط بررسی شده با استفاده از فرمول ۶، برآورد شد که نتایج آن در جدول ۳ ارائه شده است. همانطور که در این جدول مشاهده می‌گردد فشار تبلور نقاط مربوط به کوارتز در سنگ‌های متوسط تا قلیایی به جزء یک مورد در گستره ۹۰۲ کیلوبار تا ۱۰/۲۳ کیلوبار و در سنگ‌های متوسط تا اسیدی در محدوده ۸/۶۲ تا ۹/۹۸ کیلوبار متغیر است. میانگین فشار تبلور نقاط بررسی شده در سنگ‌های متوسط تا قلیایی ۹/۵۳ کیلوبار و در سنگ‌های اسیدی ۹/۴۱ کیلوبار است. با استفاده از یک عامل تبدیل $1\text{Kbar} = 3.7\text{ Km}$ برای پوسته‌ی قاره‌ای [۳۵] و عامل خطای محاسبه $\pm 0.5\text{Kbar}$ تبلور نقاط بررسی شده از کوارتزها در سنگ‌های متوسط تا قلیایی در عمق ۳۱/۵۲ تا ۳۹/۳۳ کیلومتر و در سنگ‌های اسیدی در عمق ۳۰/۰۴ تا ۳۸/۷۸ کیلومتر صورت گرفته است. اگرچه در سنگ‌های اسیدی نوع کوارتز مونزونیت تجمع‌های زینولوئیتی از کانی‌های آمفیبیول نوع الومینوفرو Ts چرمکیت وجود دارد که فشارسنگی توسط Al ، فشار بیش از ۱۵ کیلوبار را برای آنها نشان می‌دهد ولی به دست آوردن فشاری معادل با ۷ کیلوبار برای آمفیبیول‌ها موجود در سنگ‌های متوسط تا قلیایی [۲۸]، نشان می‌دهد که فشار حاصل از فرمول ۶ برای تبلور کوارتز موجود در توده‌های نفوذی آلموقلاع مورد تردید

همانطور که گفته شد شرایط اشباع از TiO_2 بر محیط تبلور کانی کوارتز حاکم بوده و برای تأیید این موضوع، مقادیر تیتانیم لازم برای اشباع شدن ماغما در دماهای ستون ۶ با استفاده از فرمول ۳ برآورد و در ستون ۱۰ در جدول ۲ ارائه شده است ($\text{Ti}_{\text{melt-sat}}$). نتایج نشان می‌دهد که مقدار تیتانیم اندازه‌گیری شده از سنگ‌های منطقه (۸ در ستون $\text{Ti}_{\text{ppm-r}}$ جدول ۲) بیشتر از مقدار مورد نیاز برای اشباع شدن ماغما در این دما است. پژوهشگران [۱۲] اظهار داشته‌اند که در سنگ‌های آذرین سیلیسی که روتیل پایدار نیست مقدار فعالیت TiO_2 معادل و یا بیشتر از 0.5% است. همچنین برخی [۱۴] بیان نموده‌اند که مقدار فعالیت TiO_2 در گدازه‌های سیلیسی در دماهای متعارف معمولاً برابر با و یا بیشتر از 0.6% است. لذا با فرض فعالیت برابر معادل با $(\alpha_{\text{TiO}_2}=0.6)$ و استفاده از فرمول ۴، دمای تبلور نقاط محاسبه گردید ($T_{\text{aTiO}_2=0.6}$ در ستون ۷) که میانگین دمای تبلور برای نقاط مربوط به کوارتز در سنگ‌های متوسط تا قلیایی حدود 772°C است که از مقدار دمایی (742°C) که با استفاده از دماسنگی همزیستی آمفیبیول-پلازیوکلاز به دست آمده است [۲۸] بیشتر است که با توجه به اینکه تبلور کوارتز پس از تبلور آمفیبیول صورت می‌گیرد این دما نامعقول و نادرست است. برای دماهای به دست آمده برپایه این فرض (ستون ۷)، مقادیر تیتانیم لازم برای اشباع شدن ماغما با استفاده از فرمول ۳ محاسبه شد ($T_{\text{aTiO}_2=0.6}$ در ستون ۱۱ جدول ۲) که مقادیر آن کمتر از مقادیر موجود در سنگ‌ها (ستون ۸) است و نشان می‌دهد که بر سیستم تبلور شرایط فوق اشباع از تیتانیم حاکم بوده و دماهای حاصل از فرمول ۱ برای شرایط اشباع (دماهای ستون ۶)، همان دمای تبلور نقاط بررسی شده است. همچنین با فرض اشباع بودن ماغما از Ti و نامشخص بودن مقدار فعالیت TiO_2 ، مقادیر دما از فرمول ۵ محاسبه شد (T_{meas} در ستون ۱۲ جدول ۲). همانطور که دیده می‌شود دماهای به دست آمده یا از حد پایداری کوارتز بالاترند و یا منفی و نامعقول هستند. لذا با توجه به مطالب بیان شده نتیجه می‌شود که ماغما در زمان تبلور کوارتز دارای شرایط اشباع از تیتان بوده و دماهای ستون ۶ برآورده نسبتاً مناسب برای دمای ماغما در زمان تبلور کوارتز محاسبه می‌شوند. محققین [۱۲] اظهار داشتند که دقت نتایج حاصل از فرمول ۱ برای تبلور کانی کوارتز معمولاً بهتر از $5^{\circ}\text{C} \pm$ بوده و برای کوارترهایی که در دماهای بالای

DAG اسیدی و هالوژنه و تنش‌های زمین‌ساختی وارد به منطقه است. مقدار انتشار مجدد Ti در دمای 500°C حدود $2\mu\text{m}$ در یک میلیون سال و در دمای 700°C درجه حدود $125\mu\text{m}$ در یک میلیون سال اعلام شده است که مقدار آن با حضور محلول‌های فعال افزایش می‌یابد که البته خروج تیتانیم از شبکه‌ی کوارتز فقط به کناره‌های کوارتز در سنگ‌های منطقه، مقادیر دمای ستون ۶ از جدول ۲ برحسب مقادیر فشاری وابسته به آنها (جدول ۳) ترسیم و سپس کنتوربندی شد. عمل ترسیم و کنتوربندی برای کوارتز‌های موجود در سنگ‌های متوسط تا قلیایی، اسیدی و کل سنگ‌ها جداگانه انجام شد. این کار یک بار بدون حذف داده‌های پرت و بار دیگر با حذف آنها انجام شد (شکل ۴). در شکل ۴ الف که مربوط به کوارتز‌های موجود در سنگ‌های متوسط تا قلیایی است مرکز کنتورها (نقطه m) در نقطه‌ای با دمای 720°C و فشاری در حدود $9/46\text{ m}$ در طی انجام گذازه است. محققین بی بردهاند که کوارتز در گذازه‌های متوسط تا اسیدی در یک گستره دمایی 50°C تا 75°C رشد می‌کند [۳۶]. بخش دیگری از این پراکندگی مربوط به انحلال و جایه‌جایی تیتانیم در اثر حضور محلول‌های

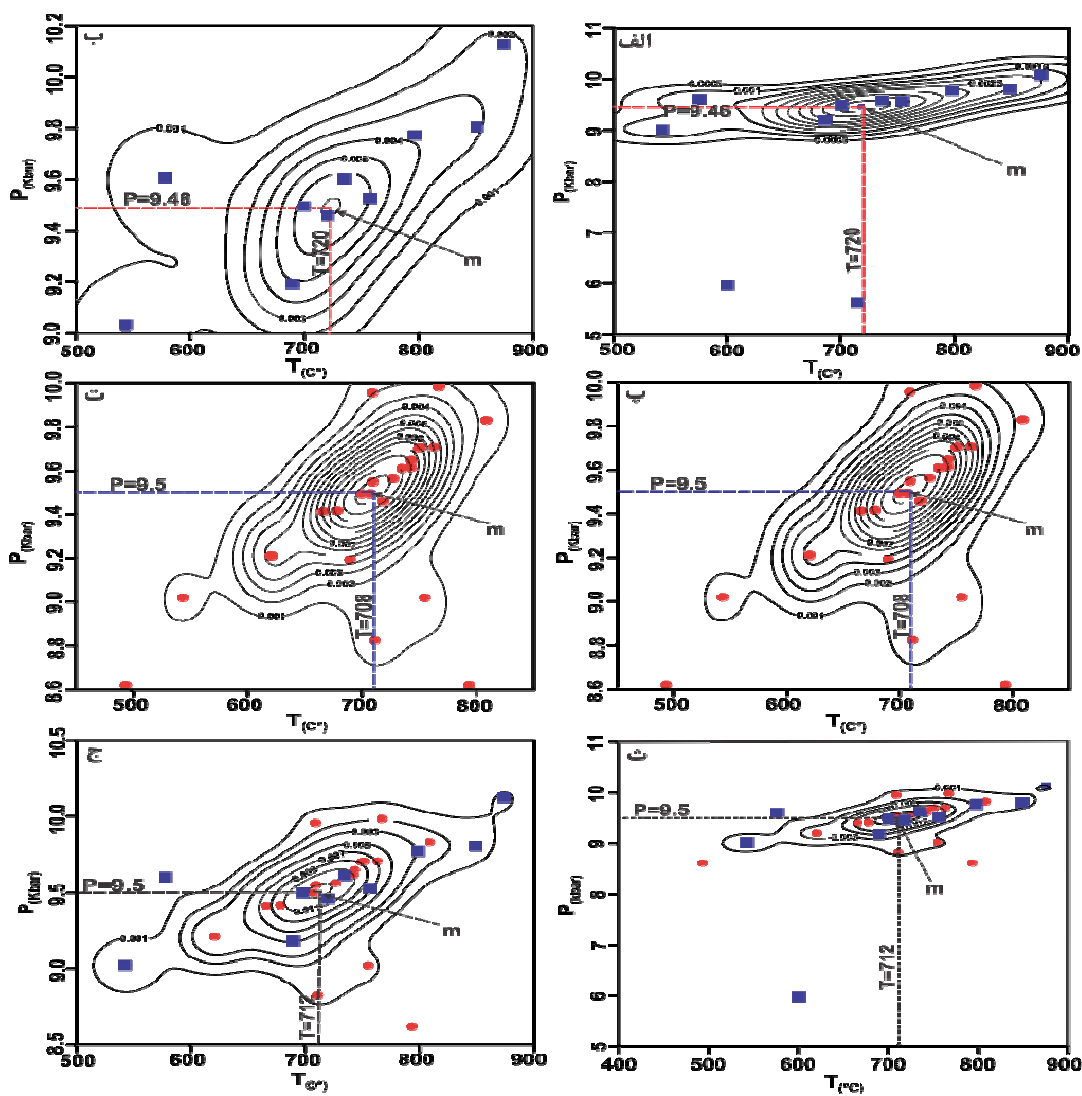
است و این نتیجه احتمالاً می‌تواند به عنوان یکی از موارد نقض فرمول ۶ مطرح شود. البته نتایج بررسی برخی از محققین [۱۷، ۱۶، ۱۲] نشان داده است که در فشارهای کمتر از 10 کیلوبار ، اثر فشار بر میزان انحلال Ti در کوارتز (اثر بر فرمول ۱) ناچیز است و بنابراین فشار حاصل از فرمول ۶ در فشارهای کمتر از 10 کیلوبار می‌تواند با خطا همراه باشد. به هر حال وجود اندکی بافت گرانوفیری در کوارتزمنزونیت‌ها بیانگر کاهش آنی عمق و فرار سیالات گازی در مراحل پایانی تبلور این سنگ‌ها است.

تعیین دما و فشار رشد کوارتز توسط کنتوربندی

همانطور که در جدول ۲ دیده می‌شود مقادیر تیتانیم (ستون ۵) و دمای به دست آمده (ستون ۶) دارای پراکندگی است که بخشی از این پراکندگی مربوط به گستره‌ی دمایی رشد کوارتز در طی انجام گذازه است. محققین بی بردهاند که کوارتز در گذازه‌های متوسط تا اسیدی در یک گستره دمایی 50°C تا 75°C رشد می‌کند [۳۶]. بخش دیگری از این پراکندگی مربوط به انحلال و جایه‌جایی تیتانیم در اثر حضور محلول‌های

جدول ۳ فشارهای محاسبه شده برای نقاط مورد بررسی از کوارتز‌های موجود در توده‌های نفوذی باتولیت آلموقلاخ ($P_{\text{Kbar}} = \text{فشار محاسبه شده در فعالیت } \text{TiO}_2 \text{ برابر با } 1 \text{ و بقیه علائم همانند جدول ۲}$).

R.T	P.T	N.Q	N.P	$X_{\frac{\text{qiz}}{\text{m}}}$	P_{Kbar}	R.T	P.T	N.Q	N.P	$X_{\frac{\text{qiz}}{\text{m}}}$	P_{Kbar}
سنگ‌های متوسط تا قلیایی	AM48	1	1	0,000083	9,495	AM23	1	4	0,000090	9,549	
		1	2	0,000190	9,772		1	5	0,000068	9,417	
		1	3	0,000280	9,805		2	1	0,000143	9,707	
		1	4	0,000320	10,130		2	2	0,000106	9,562	
		2	1	0,000020	9,601		2	3	0,000068	9,417	
		2	2	0,000140	9,527		2	4	0,00008	8,620	
		2	3	0,000100	9,459		1	1	0,000060	9,413	
		2	4	0,000080	9,193		1	2	0,000083	9,495	
		2	5	0,000080	9,193		1	3	0,000121	9,616	
		2	6	0,000015	9,020		2	1	0,000100	9,459	
		2	7	0,000113	9,611		2	2	0,000113	9,611	
		2	8	0,000065	5,976		3	1	0,000038	9,210	
سنگ‌های اسیدی	AM34	1	1	0,000150	9,703		3	2	0,000113	9,611	
		1	2	0,000013	8,825		4	1	0,000204	9,831	
		1	3	0,000015	9,020		1	1	0,000068	9,417	
		2	1	0,000127	9,648		1	2	0,000080	9,193	
		2	2	0,000083	9,495		1	3	0,00008	8,620	
		2	3	0,000279	9,984		1	4	0,000038	9,210	
		2	1	0,000143	9,707		2	1	0,000038	9,210	
		2	2	0,000294	9,957		2	2	0,000100	9,459	
AM23	AM9	1	1	0,000060	9,413		2	3	0,000083	9,495	
		1	2	0,000015	9,020		2	4	0,000038	9,210	
		1	3	0,000068	9,417		2	5	0,000090	9,549	



شکل ۴ نمودارهای کنتوربندی دما- فشار برای تعیین میانگین دما و فشار تبلور در کواتزهای موجود در توده‌های نفوذی آلموکلاگ: (الف) در سنگ‌های متوسط تا قلیایی بدون حذف داده‌های پرت (پ) در سنگ‌های اسیدی با حذف داده‌های پرت (ت) در کل سنگ‌ها بدون حذف داده‌های پرت (ج) در کل سنگ‌ها با حذف داده‌های پرت (ث).

تغییر می‌کند اما مرکز آن‌ها (نقطه m) دارای دمای 70.5°C است که تنها ۳ درجه با دمای شکل ۴ پ تفاوت دارد و با میانگین دمای به دست آمده در جدول ۲ (64.8°C) در فاصله اطمینان ۹۵ درصد تفاوت معنی‌داری را نشان نمی‌دهد و میانگین دمای تبلور کوارتز در این سنگ‌ها را بیان می‌نماید. در شکل ۴ ث که مربوط به کوارتزهای موجود در کل سنگ‌های منطقه است مرکز کنتورها (نقطه m) در نقطه‌ای با دمای 71.2°C درجه و فشاری در حدود $9/5$ کیلوبار قرار می‌گیرد. در این شکل دو نقطه به نسبت پرت مشاهده می‌شود که با حذف آنها شکل ۴ ج نتیجه می‌شود که هرچند ریخت کنتوربندی آن

ریخت کنتوربندی آن تغییر می‌کند اما مرکز کنتورهای آن (نقطه m) دارای همان دمای 72.0°C درجه است که با میانگین دمای به دست آمده در جدول ۲ (71.1°C) با فاصله اطمینان ۹۵ درصد تفاوت معنی‌داری را نشان نمی‌دهد و میانگین دمای تبلور کوارتز در این سنگ‌ها را بیان می‌نماید. در شکل ۴ پ که مربوط به کوارتزهای موجود در سنگ‌های اسیدی است مرکز کنتورها (نقطه m) در نقطه‌ای با دمای 70.8°C درجه و فشاری در حدود $9/5$ کیلوبار قرار می‌گیرد. در این شکل دو نقطه به نسبت پرت دیده می‌شود که با حذف آنها شکل ۴ ت حاصل می‌شود که هرچند ریخت کنتوربندی آن

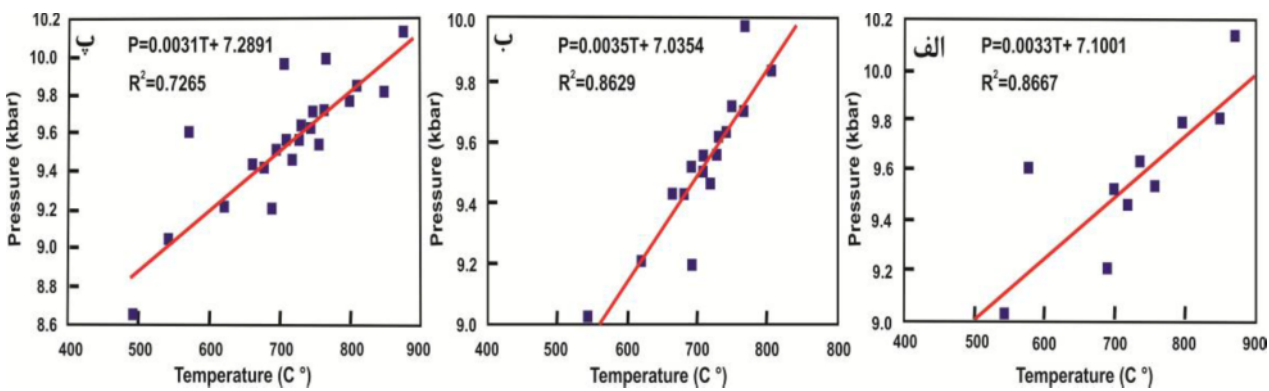
رگه‌های سیلیسی از نوع اولیه بوده و حاوی فاز گازی هستند لذا برای زمین‌دماسنگی و تعیین دمای تشکیل رگه‌های کوارتز مناسب بودند. بنابراین در این بررسی دمای یکنواختی فازها با استفاده از اطاقک گرمایی-سرمایی میکروسکوپ پلاتین گرمایی، تعیین شد که با توجه به بزرگ بودن اندازه فاز گازی موجود در سیال مایع، دمای یکنواختی بسیار نزدیک به دمای تبلور رگه سیلیسی بوده و به عنوان دمای تبلور در نظر گرفته شد. نتایج اندازه گیری‌های مختلف دما در جدول ۴ ارائه شده است. دمای تبلور اندازه گیری شده از 134°C درجه تا 255°C درجه متغیر بوده و دارای میانگین حدود 193°C درجه‌سانتی گراد است. همچنین با استفاده از کاهش تدریجی دما در اطاقک سرمایی و رسیدن به دمای انجماد و سپس با افزایش دما و اندازه گیری دمای ذوب کامل و با استفاده از ارتباط بین میزان کاهش نقطه انجماد و درصد نمک طعام، درصد شوری سیال و چگالی آن در هر یک از سیالات محبوس تعیین گردید. متوسط درصد شوری سیالات محبوس برابر با $19/2$ درصد برآورد شد (جدول ۴). دماها نشان می‌دهند که سیالات حاوی کلئیدها و یا چارچه‌های سیلیسی دارای دمای به نسبت پائینی بوده و فشار هنگام تشکیل آنها چندان بالا نبوده و در عمق به نسبت کم تشکیل شده‌اند. وجود کانی‌هایی همچون کلریت به همراه کانی‌های کوارتز و همچنین تزريق بخشی از سیلیس به درون سنگ‌های شیستی پیرامون با تولیت، نشان می‌دهد که دما و عمق تشکیل سیلیس‌های گرمایی پائین بوده است.

تغییر می‌کند اما مرکز کنتورهای آن (نقطه m) دارای همان دمای 712°C است که با میانگین دمای بدست آمده در جدول ۲ (691°C) با فاصله اطمینان ۹۵ درصد تفاوت معنی‌داری را نشان نمی‌دهد و میانگین دمای تبلور کوارتز در کل سنگ‌ها را بیان می‌نماید. با فرض تبلور و رشد کانی‌های کوارتز در یک گستره دمایی 75°C می‌توان گفت که کانی کوارتز در سنگ‌های متوسط تا قلیایی توده آلموقلاع در گستره دمایی $720 \pm 37.5^{\circ}\text{C}$ (757°C تا 683°C) و در سنگ‌های اسیدی در گستره دمایی $70.5 \pm 37.5^{\circ}\text{C}$ (740°C تا 667°C) تشکیل شده است.

به گفته محققین ضمن تبلور بلورها و یا پس از تبلور برخی از آن‌ها، ماگما قادر به شرکت به سمت بالا است [۳۷]. با این حال، با توجه به غلظت بالای ماگما در ضمن تبلور کوارتز، حرکت ماگما به سمت بالا آهسته صورت می‌گیرد. در شکل ۵ نمودارهای خطی فشار بر حسب دمای تبلور برای نقاط بررسی شده از کوارتزها در سنگ‌های متوسط تا قلیایی، اسیدی و کل سنگ‌ها منطقه بطور جداگانه و با حذف داده‌های پرت رسم شده‌اند. با توجه به شکل، یک همبستگی به نسبت بالا بین دما و فشار تبلور (عمق تبلور) در کوارتزها دیده می‌شود که بدین معنی است که ماگما ضمن تبلور کوارتز به آرامی در حال صعود به سوی سطح زمین بوده است.

دماسنگی سیالات در گیر

با توجه به اینکه تعداد زیادی از سیالات در گیر موجود در



شکل ۵ نمودارهای خطی فشار بر حسب دمای تبلور برای نقاط بررسی شده از کوارتزهای موجود در توده‌های نفوذی با تولیت آلموقلاع با حذف داده‌های پرت: (الف) در سنگ‌های متوسط تا قلیایی (ب) در سنگ‌های اسیدی (پ) در کل سنگ‌ها.

جدول ۴ نتایج دما سنجی سیالات در گیر حاوی دو فاز (مایع و گاز) در رگه‌های سیلیسی

نمونه	اندازه (μm)	دما (°C) یکنواختی	درصد شوری	دما ذوب (°C) کامل	شکل سیال	نمونه	اندازه (μm)	دما (°C) یکنواختی	درصد شوری	دما ذوب (°C) کامل	شکل سیال
QZ ₁	۱۰,۳	۲۲۴,۲	۲۱,۸	-۱۹,۲	بی‌شکل	QZ ₁	۱۰,۴	۲۲۰,۷	۲۱,۱	-۱۸,۲	کشیده
QZ ₁	۵,۵	۱۱۷,۳	۲۲,۱	-۱۹,۷	بی‌شکل	QZ ₁	۱۰,۸	۲۳۷,۶	۲۲,۷	-۲۰,۵	کشیده
QZ ₁	۵,۵	۲۰۹,۱	۲۰,۷	-۱۷,۷	بیضوی	QZ ₁	۱۲,۶	۲۱۲,۳	۲۲,۴	-۲۰,۱	بی‌شکل
QZ ₁	۶,۸	۱۹۷,۱	۲۰,۱	-۱۶,۹	بی‌شکل	QZ ₁	۱۲,۳	۱۷۹,۱	۲۵,۸	-۲۲,۷	کشیده
QZ ₁	۷,۷	۱۳۸,۶	۱۸,۷	-۱۵,۱	بی‌شکل	QZ ₁	۵,۶	۲۵۴,۴	۱۹,۰	-۱۵,۵	کروی
QZ ₁	۵,۸	۱۸۳,۶	۲۰,۰	-۱۶,۸	کروی	QZ ₁	۸,۴	۱۷۸,۳	۱۹,۴	-۱۵,۹	بی‌شکل
QZ ₁	۱۷,۳	۱۷۰,۹	۲۰,۸	-۱۷,۸	بی‌شکل	QZ ₁	۱۹,۹	۱۹۴,۸	۲۱,۲	-۱۸,۴	بیضوی
QZ ₁	۱۴,۱	۱۷۹,۱	۲۱,۴	-۱۸,۶	بی‌شکل	QZ ₁	۷,۱	۱۸۸,۵	۲۲,۸	-۲۱,۱	بیضوی
QZ ₁	۵,۸	۱۶۵,۷	۲۳,۸	-۲۱,۸	کشیده	QZ ₁	۸,۶	۱۷۷,۶	۱۹,۶	-۱۶,۲	کروی
QZ ₁	۹,۰	۱۷۶,۲	۲۰,۴	-۱۷,۳	کروی	QZ ₁	۹,۲	۱۷۵,۴	۲۰,۰	-۱۶,۷	بیضوی
QZ ₁	۷,۳	۱۷۲,۴	۲۲,۹	-۲۰,۸	کروی	QZ ₁	۵,۹	۱۶۲,۰	۲۲,۱	-۱۹,۶	بیضوی
QZ ₁	۸,۱	۱۷۶,۹	۲۰,۹	-۱۷,۹	کشیده	QZ ₁	۶,۱	۱۶۹,۴	۲۱,۲	-۱۸,۴	بی‌شکل
QZ ₁	۷,۳	۲۲۸,۶	۲۲,۱	-۱۹,۷	کشیده	QZ ₁	۶,۳	۲۳۲,۵	۲۰,۶	-۱۷,۵	بی‌شکل
QZ ₁	۸,۰	۱۷۰,۰	۲۱,۷	-۱۹,۰	کشیده	QZ ₁	۵,۰	۲۱۴,۱	۲۰,۸	-۱۷,۸	بیضوی
QZ ₂	۶,۶	۲۱۱,۵	۲۲,۶	-۲۰,۴	کروی	QZ ₂	۶,۶	۲۱۲,۴	۲۰,۳	-۱۷,۲	کروی
QZ ₂	۶,۲	۲۰۳,۹	۱۹,۸	-۱۶,۵	کروی	QZ ₂	۷,۲	۱۹۶,۳	۲۱,۳	-۱۸,۵	کشیده
QZ ₂	۶,۴	۲۱۲,۶	۲۳,۰	-۲۱,۰	کروی	QZ ₂	۴,۷	۲۲۰,۸	۲۱,۹	-۱۹,۳	کروی
QZ ₂	۷,۷	۱۸۳,۳	۲,۳۱	-۱,۴۰	کشیده	QZ ₂	۶,۱	۲۰۹,۵	۶,۵۲	-۴,۱۰	کشیده
QZ ₂	۱۰,۹	۱۸۷,۴	۱۷,۹	-۱۴,۲	بی‌شکل	QZ ₂	۷,۷	۱۷۰,۱	۱۰,۲	-۶,۸۰	کروی
QZ ₂	۱۰,۳	۱۳۳,۸	۹,۴۵	-۶,۲۰	کشیده	QZ ₂	۵,۱	۱۴۸,۷	۲۱,۳	-۱۸,۵	کروی
QZ ₂	۶,۶	۱۶۹,۶	۱۰,۹	-۷,۳۰	کشیده	QZ ₂	۸,۲	۱۹۱,۰	۱۲,۵	-۸,۷۰	بی‌شکل
QZ ₂	۱۱,۹	۱۸۷,۹	۱۱,۹	-۸,۲۰	بی‌شکل	QZ ₂	۱۱,۱	۱۹۵,۹	۱۲,۳	-۸,۵۰	بی‌شکل
QZ ₂	۱۴,۱	۱۹۲,۵	۱۵,۶	-۱۱,۶	بی‌شکل	QZ ₂	۵,۷	۱۹۵,۸	۱۵,۰	-۱۱,۰	کروی
QZ ₂	۶,۵	۲۰۹,۸	۱۳,۵	-۹,۶۰	کروی	QZ ₂	۵,۶	۱۹۲,۲	۱۴,۶	-۱۰,۶	کروی
QZ ₂	۷,۱	۱۹۳,۱	۱۴,۶	-۱۰,۶	کشیده	QZ ₂	۴,۸	۲۰۱,۷	۱۴,۱	-۱۰,۲	بی‌شکل
QZ ₂	۹,۴	۲۰۳,۸	۱۱,۷	-۸,۰۰	بی‌شکل	QZ ₂	۱۲,۴	۱۹۷,۱	۱۲,۱	-۸,۳۰	کشیده
QZ ₂	۱۱,۵	۱۸۰,۸	۲۲,۴	-۲۰,۱	بی‌شکل	QZ ₂	۱۰,۹	۱۴۷,۶	۱۶,۸	-۱۲,۹	کروی
QZ ₂	۱۱,۱	۱۸۵,۵	۲۴,۷	-۲۲,۱	بی‌شکل	QZ ₂	۵,۳	۱۷۵,۹	۱۵,۵	-۱۱,۵	کشیده
QZ ₂	۷,۱	۱۷۳,۲	۲۳,۱	-۲۱,۲	کشیده	QZ ₂	۸,۶	۲۴۰,۳	۲۲,۱	-۲۱,۲	بیضوی
QZ ₂	۸,۴	۱۷۷,۲	۱۶,۲	-۱۲,۳	کروی	QZ ₂	۱۲,۴	۲۳۸,۷	۲۲,۰	-۲۰,۹	بی‌شکل
QZ ₂	۴,۵	۲۲۳,۸	۲۳,۱	-۲۱,۱	کروی	QZ ₂	۷,۵	۲۴۴,۷	۲۲,۷	-۲۰,۶	کشیده
QZ ₂	۹,۴	۲۲۹,۱	۲۲,۹	-۲۰,۸	بی‌شکل	QZ ₂	۴,۴	۲۳۳,۶	۲۲,۹	-۲۰,۹	کروی
QZ ₂	۱۱,۰	۱۹۴,۹	۲۱,۵	-۱۸,۸	کشیده	QZ ₂	۴,۶	۱۹۱,۶	۲۲,۲	-۱۹,۸	بیضوی
QZ ₂	۹,۴	۱۸۹,۲	۲۱,۸	-۱۹,۲	بی‌شکل	QZ ₂	۷,۸	۲۰۳,۷	۲۱,۷	-۱۹,۱	کروی
QZ ₂	۹,۹	۱۵۱,۱	۲۰,۳	-۱۷,۱	کروی	QZ ₂	۷,۱	۱۸۴,۴	۲۱,۰	-۱۸,۱	بیضوی
QZ ₂	۴,۲	۱۸۵,۲	۲۰,۹	-۱۷,۹	کروی	QZ ₂	۵,۵	۱۶۰,۵	۲۱,۵	-۱۸,۸	بیضوی

مراجع

- [1] Weil J.A., "A review of the EPR spectroscopy of the point defects in α -quartz: the decade 1982-1992", In: Helms, C.R. Deal, BE (ed), the Physics and chemistry of SiO_2 and the Si-SiO₂ interface.2, Plenum Press, New York, (1993) 131-144.
- [2] Weil J.A., "A review of electron spin-spectroscopy and its application to the study of paramagnetic defects in crystalline quartz", Phys Chem Min, 10 (1984) 149-165.
- [3] Götze J., Plötze M., "Investigation of trace-element distribution in detrital quartz by Electron Paramagnetic Resonance", Eur. J Miner. 9 (1997) 529-537.
- [4] Götze J., Plötze M., Habermann, D., "Origin, spectral characteristics and practical applications of the cathodoluminescence (CL) of quartz: A review", Mineralogy and Petrology, 71 (2001) 225-250.
- [5] Flem B., Larsen R.B., Grimstvedt A., Mansfeld J., "In situ analysis of trace elements in quartz by using laser ablation inductively coupled plasma mass spectrometry", Chem Geol, 182 (2002) 237-247.
- [6] Müller A., Wiedenbeck M., Van den Kerkhof A.M., Kronz A., Simon K., "Trace elements in quartz: a combined electron microprobe, secondary ion mass spectrometry, laser-ablation ICP-MS, and cathodoluminescence study", European Journal of Mineralogy, 15(2003) 747-763.
- [7] Huttenlocher H.F., "Kristallstruktur des Aluminum-orthophosphates". Zeitshrift für Kristallographie, 90A (1935) 508-516.
- [8] Beck W.R., "Crystallographic inversions of the aluminium orthophosphate polymorphs and their relation to silica", J. Am. Ceram. Soc. 32 (1949) 147-151.
- [9] Mackey J. H., "An EPR study of impurity related colour centres in aluminium-doped quartz", J. Chem. Phys. 39 (1963) 74-83.
- [10] Götze J. Plötze M., Graupner T., Hallbauer D.K., Bray C.J., "Trace element incorporation into quartz: A combined study by ICP-MS, electron spin resonance, cathodoluminescence, capillary ion analysis, and gas chromatography", Geochimica & Cosmochimica Acta, 68 (2004) 3741-3759.
- [11] Larsen R.B., Henderson H., Ihlen P.M., Jacamon F., "Distribution and petrogenetic behaviour of trace elements in granitic pegmatite

نتیجه‌گیری

از بررسی جدول‌ها و نمودارها، نتایج زیر به دست می‌آید:

- هرچند در بررسی‌هایی که توسط ریز پردازشگر الکترونی انجام گرفت سعی شد تا محل بررسی نقاط دور از کانی‌های تیتان‌دار روتیل، اسفن و ایلمنیت و دور از کناره کانی کوارتز انتخاب شود اما به هر حال در تحلیل خطی کوارتز (از مرکز کانی به سوی کناره) نظم مناسبی در توزیع مقدار Ti در کوارتزهای منطقه دیده نمی‌شود که دلیل آن می‌تواند وجود لکه‌های بسیار ریز از کانی‌های تیتان‌دار در کوارتز و یا انتشار و باز توزیع Ti در اثر فعالیت محلول‌های فعال هالوژنه و یا فشارها و تنش‌های بعدی وارد بر منطقه باشد. کنتور بندی نقاط در نمودارهای دما- فشار و تعیین مختصات مرکز گرانش کنتورها، روش مناسبی برای تعیین گستره‌ی دمایی رشد کوارتز در سنگ‌هایی است که دچار تنش‌های زمین‌ساختی شده و یا تحت تاثیر محلول‌های خورنده قرار گرفته‌اند زیرا مختصات مرکز کنتورها نسبت به وجود یا عدم وجود نقاط پرت حساسیت معنی‌داری ندارد.
- با فرض رشد کانی کوارتز در یک گستره دمایی 75°C ، این کانی در سنگ‌های متوسط تا قلیایی با تولیت آلموقلاع در گستره‌ی دمایی $720 \pm 37.5^{\circ}\text{C}$ (757.5°C تا 682.5°C) و در سنگ‌های اسیدی در گستره‌ی دمایی $705 \pm 37.5^{\circ}\text{C}$ (740.5°C تا 667.5°C) تشکیل شده است.
- رابطه خطی بین فشار و دمای تبلور نقاط بررسی شده نشان می‌دهد که ماغما ضمن تبلور کوارتز به آرامی در حال صعود بوده است.
- بررسی سیالات محبوس (با میانگین شوری $19/2$ درصد) در رگه‌های سیلیسی توسط اطاک گرمایی- سرمایی میکروسکوپ پلاتین گرمایی نشان می‌دهد که رگه‌ها و رگه‌های سیلیسی موجود در سنگ‌های نفوذی با تولیت آلموقلاع و سنگ‌های مجاور بالا فصل در دمای بین 134°C تا 255°C درجه‌سانتی‌گراد (با میانگین 193°C درجه‌سانتی‌گراد) تشکیل گردیده‌اند.

قدرتانی

نویسنده‌گان مقاله از معاونت پژوهشی دانشگاه لرستان بخاطر حمایت‌های مالی آنها تشکر می‌نمایند. از همکاری بی‌دریغ آفای فرهاد احمدنژاد در بررسی سیالات در گیر سپاسگزاری می‌گردد. همچنین نویسنده‌گان از داوران محترم که با ارائه نظرات ارزنده، موجبات بهبود این مقاله را فراهم نموده‌اند صمیمانه تشکر می‌نمایند.

- [24] Mohajjal M., Fergusson C.L., Sahandi M.R., "Cretaceous-Tertiary convergence and continental collision, Sanandaj-Sirjan zone eastern Iran", *J. Asian Earth Sci.* 21 (2003) 397-412.
- [25] Sepahai A. A., "Typology and petrogenesis of granitic rocks in the Sanandaj-Sirjan metamorphic belt, Iran: with emphasis on the Alvand plutonic complex", *N.Jb. Geol Palaontol Abh.* 247 (2008) 295-312
- [26] Valizadeh M.V., Zarian S., "A petrological study of the Almogholagh, Asadabad and Hamedan plutons. Theran university", *J. Sci.* 8 (1976) 49-59.
- [27] Shabazi H., Siebel W., Ghorbani M., Pourmoafee M., Sepahi A.A., Vousooughi Abedini M., Shang C.C., "The Almogholagh pluton, Sanandj-Sirjan zone, Iran: geochemistry, u -(th)-pb Titanite geochronology and implication for its Tectonic evolution", *N. Jb. miner. Abh. (J.Min. Geochem.)* 192 (2015) 85-99.
- [۲۸] امیری م.، ویژگی‌های ژئوشیمیایی و پترولوجیکی گرانیتوئیدهای آلموقلاق (شمال اسدآباد- همدان)، پایان نامه دکترای پetroلوجی، دانشگاه لرستان، (۱۳۹۵).
- [29] Cox K.G., Bell, J.D. and Pankhurst, R.J. "The interpretation of Igneous rocks," Springer/Chapman & Hall (1979) 450p.
- [30] Debon F., Le Fort P., "A chemical-mineralogical classification of common plutonic rocks and associations", *Trans Roy Soc Edinb Earth Sci.* 73 (1983) 135-149
- [31] De La Roche H., Leterrier J., Grandclaude P., Marchal M., "A classification of volcanic and plutonic rocks using R_1R_2 -diagram and major-element analyses-its relationships with current nomenclature", *Chemical Geology* 29(1980) 183-210.
- [32] Middlemost E.A.K., "Magmas and magmatic rocks: an introduction to igneous petrology", United States, John Wiley and Sons Inc. New York NY(1986).
- [33] Middlemost E.A.K., "Naming materials in the magma/igneous rock system", *Earth Sci. Rev.* 37 (1994) 215-224.
- [34] Jacamon F. "The significance of textures and trace element chemistry of quartz with regard to the petrogenesis of granitic rocks Doctoral Thesis For the degree of Philosophiae Doctor (PhD)", Norwegian University of Science and Technology, (2006).
- [35] Tulloch A.J., Challis G.A., "Emplacement depths of Paleozoic-Mesozoic plutons from quartz from South Norway", *Contributions to Mineralogy and Petrology*, 147 (2004) 615-628.
- [12] Wark D.A., and Watson E.B., "TitaniQ: a titanium-in-quartz geothermometer", *Contributions to Mineralogy and Petrology*, 152 (2006) 743-754.
- [13] Hayden L.A., Watson, E.B., Wark D.A., "Rutile saturation and TiO_2 diffusion in hydrous siliceous melts", American Geophysical Union, Fall Meeting, (2005).
- [14] Hayden L.A., Watson E.B., "Rutile saturation in hydrous siliceous melts and its bearing on Ti-thermometry of quartz and zircon", *Earth Planet Sci Lett*, 258 (2007) 561-568.
- [15] Ryerson F.J., Watson, E.B. "Rutile saturation in magmas: implications for Ti-Nb-Ta depletion in island-arc basalts", *Earth Planet. Sci. Lett.* 86 (1987) 225-239.
- [16] Wark D.A., Hildreth W., Spear F.S., Cherniak D.J., Watson E.B., "Pre-eruption recharge of the bishop magma system", *Geology*, 35 (2007) 235-238.
- [17] Wiebe R.A., Wark D.A., Hawkins D.P., "Insights from quartz cathodoluminescence zoning into crystallization of the Vinalhaven granite", *coastal Maine. Contrib Mineral Petro.* 154 (2007) 439-453.
- [18] Lowers H.A., Rusk B.G., Koenig A., "Application of the titaniq geothermometer to hydrothermal quartz", *GSA Denver Annual Meeting abstract*, (2007) 226-229.
- [19] Ghisoro M.S., Evans B.W., "Thermodynamics of rhombohedral oxide solid solutions and a revision of the Fe-Ti two-oxide geothermometer and oxygen-barometer", *American Journal of Science*, 308 (2008) 957-1039.
- [20] Levien L., Prewitt C.T., Weidner D.J., "Structure and elastic properties of quartz at pressure", *Am Mineral* 65 (1980) 920-930.
- [21] Ostapenko G.T., Gamarnik M.Y., Gorogotskaya L.I., Kuznetsov G.V., Tarashchan A.N., Timoshkova L.P., "Isomorphism of titanium substitution for silicon in quartz: experimental data", *Mineral Zh*, 9 (1987) 30-40.
- [22] Thomas J.B., Watson E.B., Spear F.S., Shemella P.T., Nayakm S.K. Lanzirotti A., "TitaniQ under pressure: the effect of pressure and temperature on the solubility of Ti in quartz", *Contrib Mineral Petrol*, 160 (2010) 743-759.
- [23] Donovan J.J., Lowers H.A., Rusk, B.G., "Improved electron probe microanalysis of elements in quartz", *Am Mineral*, 96 (2011) 274-282.

in Mineralogy & Geochemistry, Mineralogical Society of America. 69 (2008) 121-142.

[37] Ghent E. D., Nicholls J., Siminy P.S., Sevigny H.H., Stout M. Z., "Hornblende Geobarometry of the Nelson batholith, Southeastern British Columbia: Tectonic Implications", Canadian J. Earth Sci., 28 (1991) 1982-1991.

western New Zealand estimated by Hornblende-Al Geobarometry", New Zealand Journal of Geology and Geophysics 43 (2000) 555-567.

[36] Anderson J. L., Barth A.P., Wooden J.L., Mazdab F., "Thermometers and Thermobarometers in Granitic Systems", Reviews